

اثر شکل هندسی آرایه در طراحی Superresolution آرایه های

فرخ آرم

دانشیار

دانشکده مهندسی برق، دانشگاه تهران

فرخ حجت کاشانی

استاد

دانشکده مهندسی برق، دانشگاه علم و صنعت ایران

محمد عسگری

دانشجوی دکترا

دانشکده مهندسی برق، دانشگاه علم و صنعت ایران

چکیده

الگوریتم MUSIC [1] بعنوان یک الگوریتم پایه از دسته الگوریتم های زیرفضای سینگنال در آشکارسازی و جداسازی تشушع کننده ها در سیستم های پردازش آرایه بکار گرفته می شود. خطای ایجاد شده توسط در این الگوریتم بستگی به تعداد نمونه های دریافتی، مقدار سینگنال به نویز، فاصله دو تشушع کننده و شکل عناصر و در نهایت نحوه چیده شدن عناصر آرایه دارد. در این مقاله، وابستگی خطاهای ذکر شده به شکل هندسی آرایه بررسی شده است. به این مقوله، مقالات کمتری پرداخته اند؛ چراکه مشکل اصلی پیچیدگی روابط است. از این رو در اینجا سعی برآن است که تمام حالات ممکن از شکلهای مختلف آرایه ها چه خطی و چه صفحه ای بررسی شوند و انواع گوناگون آرایه ها نیز تعریف شوند. بعلاوه ضمن بدست آوردن فرمول های تحلیلی خطاهایی را باید در دو بعد θ و ϕ در آرایه های صفحه ای (که حالت کلیتر آرایه های خطی هستند)، نشان داده می شود که چه پارامترهایی را باید در انتخاب شکل هندسی برای داشتن خطای دلخواه تعیین نمود.

کلمات کلیدی

آرایه های با دقت تفکیک بدیروی فوق العاده، الگوریتم MUSIC، حد کرامر - راو

The Effect of Array Geometery on Super-Resolution Array Designing

F. Hodjat Kashani
Professor

F. Arazm
Professor

M. Asgari
Assistant Professor

Abstract

MUSIC (Multiple Signal Classification) algorithm as a base of Sub-Space algorithms is applied in array processing systems. The error of the algorithm in detection & resolution depends on several parameters, such as snapshots, signal-to-noise ratio and sensor locations. In this paper, the previous dependency is investigated. So, all the senarios of array shaps are definded and then analytic formulas are derived in two bearings of θ and ϕ . We will show which parameters have the most effect on the desired error (the error threshold).

Key words

Super-resolution Array , MUSIC algorithm , Cramer-Rao Bound



مقدمه

در بخش آرایه‌های Superresolution الگوریتم‌های مختلفی برای آشکارسازی و جداسازی سیگنال‌های دریافتی بکار گرفته شده‌اند. الگوریتم‌هایی که بر مبنای حداکثر احتمال و یا جداسازی فضای سیگنال از فضای نویز عمل می‌کنند از عمل‌های ترین الگوریتم‌های یاد شده هستند. دقت الگوریتم MUSIC که بر اساس روش زیر فضای سیگنال عمل می‌کند از پارامترهای مختلفی مانند ضریب همبستگی تشعشع کننده‌ها، بهره عناصر آرایه، محدودیت زمانی دریافت منابع و شکل هندسی آرایه متأثر است. مسلماً مقداری از بهره یا ضریب همبستگی و یا فاصله بین عناصر آرایه وجود دارد که به ازای هر یک از آن مقداری بطور مستقل می‌توان حداقل خطای آشکارسازی و جداسازی را بدست آورد. هدف اصلی این مقاله آن است که در مرحله اول فرمول‌های تحلیلی خطرا بر حسب شکل هندسی آرایه بدست آورده و سپس پارامترها و نکاتی را که در طراحی آرایه باید مورد توجه قرار دارد، بررسی کند. از آنجا که تاکنون مقالات ارائه شده از همان ابتدا به سراغ الگوریتم‌های بهینه‌سازی رفته اند و نحوه ارتباط خطرا با شکل هندسی را نشان نداده‌اند (بجز روش هندسه تفاضلی که اولین بار توسط آقای مانیکاس و همکارانش [۲] آرایه شد)، هنوز برای مهندسین طراح آرایه‌های Superresolution این مسئله بصورت یک سؤال باقی مانده است که چگونه می‌توان آرایه‌ای را برای داشتن حداقل خط تعیین کرد. معمولاً نیز از حد پایین کرامر - راو CRLB بعنوان کمترین خطای ممکن برای هر تخمین زن بایاس نشده‌ای استفاده می‌شود. البته فرم‌های مختلفی از حد CRLB بصورت ترکیبی و یا مستقل [۳] وجود دارد.

برای انجام آنچه که ذکر شد، آرایه‌ای را با N عنصر که در حال دریافت M سیگنال از M جهت متفاوت است در نظر بگیرید $\underline{x}(t) = A(\theta, \phi)\underline{s}(t) + \underline{n}(t)$. در نتیجه خروجی عناصر آرایه شکل (۱) چنین خواهد بود:

$$(1) \quad \underline{x}(t) = A(\theta, \phi)\underline{s}(t) + \underline{n}(t)$$

معادله (۱) معادله عمومی پردازش آرایه است، که در آن (t) برداریست مختلف و M بعدی که نشان دهنده تعداد منابع است و $\underline{n}(t)$ بردار N بعدی نویز سفید، جمع پذیر و مکانی می‌باشد. همچنین ستون‌های ماتریس $A(\theta, \phi)$ شامل بردارهای جهت نماد (Array Manifold) است که بطور عمومی با $\underline{a}(\theta, \phi)$ نشان داده می‌شوند؛ بعبارت دیگر:

$$A(\theta, \phi) = [\underline{a}_g(\theta_1, \phi_1) \underline{a}_g(\theta_2, \phi_2) \dots \underline{a}_g(\theta_M, \phi_M)]$$

$$(2) \quad \underline{a}_g(\theta, \phi) = \underline{g}(\theta, \phi) \odot \underline{a}(\theta, \phi)$$

که در آن $\underline{g}(\theta, \phi)$ بردار بهره عناصر آرایه است و

$$(3) \quad \underline{a}(\theta, \phi) = \exp(-j\pi \underline{r}. \underline{k}(\theta, \phi))$$

در اینجا ما از نمادسازی بکار رفته [۲] جهت نوع بردار جهت نما یا بردار نشان‌دهنده موقعیت منابع، $\underline{a}(\theta, \phi)$ ، استفاده جسته‌ایم. در معادله (۳) $\underline{r} = [r_x, r_y, r_z]^T$ و $\underline{k}(\theta, \phi) = \pi[\cos \theta \cos \phi, \sin \phi \cos \theta, \sin \phi]^T$ بردار عدد موج است. در آرایه‌های صفحه‌ای $\underline{r} = [r_x, r_y, 0]^T$ و در آرایه‌های خطی که عناصر بموازات محور x ها چیده شده‌اند، $\underline{r} = [r_x, 0, 0]^T$ خواهد بود. عناصر این بردار نسبت به $\lambda/2$ نرمالیزه شده‌اند. با درنظر گرفتن \underline{r} و $\underline{k}(\theta, \phi)$ و جایگزین کردن آنها برای آرایه‌های صفحه‌ای داریم:

$$(4) \quad \underline{a}(\theta, \phi) = \exp\{-j\pi(r_x \cos \theta + r_y \sin \theta) \cos \phi\}$$

$$|a(\theta, \phi)| = \sqrt{N}$$

عبارت $\underline{r} \cos \theta + r_y \sin \theta$ را با R نشان می‌دهیم و خواهیم دید که عبارت خطاب تابعی از اندازه R خواهد بود و

نشانه‌نده وابستگی خطاب نحوه چیدن آرایه یعنی \hat{x} و \hat{y} است.

در ادامه مقاله، در بخش دوم به معرفی الگوریتم MUSIC و حد پایین کرامر- را برای محاسبه خطابی الگوریتم پرداخته و مفاهیم کلی آن را بررسی می‌کنیم. در بخش سوم به دسته‌بندی آرایه‌ها خواهیم پرداخت و در بخش چهارم با انجام محاسباتی به فرمول‌های تحلیلی لازم برای نشان دادن نحوه ارتباط خطاب و یا حد پایین کرامر - را با شکل هندسی آرایه می‌رسیم. همچنین در بخش پنجم شبیه‌سازی نتایج بدست آمده از حیث شکل هندسی ارائه می‌شود، این نتایج برای دو آرایه معروف دایری و شکل Y شکل [۴] گرفته خواهد شد.

۱- الگوریتم MUSIC و خطاب آشکارسازی و جداسازی

همچنانکه در قسمتهای قبل اشاره شد این الگوریتم از نوع الگوریتم زیرفضای سیگنال است و در سال ۱۹۸۹ توسط Stoica و Nehorae کامل شد [۱]. اگر چه قریب به یک دهه از پدید آمدن این الگوریتم می‌گذرد، تا حال تغییرات زیادی یافته است. دلیل اصلی این امر را می‌توان در ضعفهای این الگوریتم دانست؛ دلایلی از قبیل ضعیف بودن در آشکارسازی و جداسازی سیگنال‌های همبسته، وابستگی خطابی آن به تعداد نمونه‌های دریافتی و همچنین نسبت سیگنال به نویز را می‌توان از دلایل عمدی بر شمرد. الگوریتم MUSIC زوایای دریافت سیگنال‌های ورودی به آرایه را از طریق ریشه‌های معادله زیر بدست آورد:

$$F_{MUSIC}(\theta, \phi) = A^H(\theta, \phi) P_A^\perp A(\theta, \phi) = 0 \quad (5)$$

که در آن $A \in \mathbb{C}^{N-M} = I - A(A^H A)^{-1} P_A^\perp$ اپراتور تصویر نامیده می‌شود و A ماتریسی متشکل از بردارهای ویژه زیرفضای نویز است [۱]. برای بدست آوردن خطابی هر تخمین زنده‌ای که پارامترهای تخمین آن (مثلًا "داینبا θ و ϕ ") دارای متوسط صفر است (بایاس نشده‌اند)، CRB عبارتست از

$$CRB(p) = \frac{\sigma^2}{2} \left\{ \sum_{t=1}^L \operatorname{Re} \left[s^H(t) D^H P_A^\perp D s(t) \right] \right\}^{-1} \quad (6)$$

که $D = \frac{\partial A}{\partial p}$ و p می‌تواند θ و یا ϕ باشد. گرچه عبارت (5) تنها فرمول موجود در محاسبه خطاب چه در آشکارسازی و چه در جداسازی سیگنال‌ها در سیستم Superresolution است، ولی باید اذعان کرد که بخودی خود اطلاعات چندانی را نسبت به نحوه طراحی آرایه یا چگونگی درنظر گرفتن پارامترهایی چون فرکانس یا همبستگی سیگنال‌ها و یا عوامل مختلف دیگری که عموماً در طراحی این نوع آرایه‌ها مورد نیاز است، در اختیار نمی‌گذارد. پس برای رسیدن به هدف اصلی که بدست آوردن روابطی است که خطاب را به شکل هندسی آرایه و یا به نحوه چیدن آرایه ربط می‌دهد، مجبوریم شرایط و فرضهایی را در نظر بگیریم. بنابراین در هر دو حالت آشکارسازی و جداسازی فرض‌های مشترکی چون معلوم بودن تعداد نمونه‌های دریافتی، معلوم بودن نسبت سیگنال به نویز، تعداد عناصر آرایه و بهره عناصر استفاده خواهیم کرد. همچنین برای ساده شدن مطلب، بدون هیچ نقصی در کلیت محاسبات، در حالتی که خطاب آشکارسازی مورد نظر است فقط یک سیگنال در محیط فرض می‌شود. از آنجا که آشکارسازی برای تک تک منابع اجرا خواهد شد، لذا می‌توان خطاب را نسبت به هر کدام جداگانه بدست آورد و در مورد خطابی جداسازی گرچه مهم این است که بتوان آن را نسبت به چندین منبع محاسبه کرد، ولی برای سادگی باید دو به دو منابع را از یکدیگر آشکارسازی کرد. پس در اینجا می‌توان خطابی جداسازی را در هر مرحله برای دو منبع فرضی که در فاصله معینی از یکدیگر قرار گرفته‌اند در نظر گرفت. پس در دو حالت فوق محاسبات را بطور جداگانه انجام می‌دهیم.

۲- الف خطاب آشکارسازی

این فرض که در این حالت تعداد منابع فقط یکی است ($M = 1$ ، پس P_1 ، توان سیگنال دریافتی، برابر است با:

$$P_1 = E \left\{ s^H(t) s(t) \right\} = \frac{1}{L} \sum_{t=1}^L s^H(t) s(t)$$

که با جایگذاری در (5) داریم:

$$CRB_{det}(p) = \frac{\sigma^2}{2Lp_1} \frac{1}{\underline{a}_{1g}^\bullet H P_{A^\perp}^\perp \underline{a}_{1g}^\bullet} \quad (7)$$

این عبارت نشان می‌دهد که خطای حاصل از آشکارسازی بطور معکوس با مشتق بردار جهت نما (Manifold Vector) رابطه دارد و اگر فرض کنیم $\sigma^2 / 2Lp_1$ عبارتی ثابت باشد، با بسط دادن عبارت $(\underline{a}_{1g}^\bullet H P_{A^\perp}^\perp \underline{a}_{1g}^\bullet)^{-1}$ باید نحوه ارتباط خطای جهت نما با شکل هندسی آرایه بدست آورد.

۲- ب - خطای جداسازی

در این حالت فرض بر وجود دو منبع در محیط می‌است، یعنی ($M=2$) که به فاصله $\Delta\theta$ یا $\Delta\phi$ از یکدیگر قرار گرفته‌اند. برای سادگی مسئله فرض می‌کنیم که سیگنال‌های دریافتی همبستگی نداشته باشند. در این صورت با در نظر گرفتن معادله (5) بصورت زیر در خواهد آمد:

$$CRB_{res}(p) = \frac{\sigma^2}{2Lp_1} \frac{1}{A^\bullet H P_A^\perp A^\bullet} \quad (8)$$

که در آن $A^\bullet = [\underline{a}_{1g}^\bullet, \underline{a}_{2g}^\bullet] \in C^{N*2}$ فقط دارای دو بردار جهت نما است. با توجه به نیاز معادلات (6) و (7) به مشتق بردار جهت نما، در اینجا به آنالیز آنها خواهیم پرداخت. با توجه به (4) داریم:

$$\dot{\underline{a}}_\theta(\theta, \phi) = -j\pi \cos \phi \dot{\underline{R}}(\theta) \odot \dot{\underline{a}}(\theta, \phi) \quad (9)$$

$$\dot{\underline{a}}_\phi(\theta, \phi) = +j\pi \cos \phi \dot{\underline{R}}(\theta) \odot \dot{\underline{a}}(\theta, \phi)$$

برتیب مشتقات $\dot{\underline{a}}_\phi(\theta, \phi)$ نسبت به θ و ϕ هستند. همچنین \odot نشان دهنده ضرب عنصر در عنصر یا ضرب هادامارد بردارها است. در حالت کلی برای آرایه‌های غیرایزوتروپیک داریم:

$$\dot{\underline{a}}_g(\theta, \phi) = \dot{g}(\theta, \phi) \dot{\underline{a}}(\theta, \phi) + g(\theta, \phi) \dot{\underline{a}}(\theta, \phi) \quad (10)$$

و در نتیجه اگر مشتق را نسبت به θ بنویسیم، داریم

$$\dot{\underline{a}}_{g\theta}(\theta, \phi) = \dot{g}_\theta(\theta, \phi) \dot{\underline{a}}(\theta, \phi) - j\pi \cos \phi \dot{g}(\theta, \phi) \dot{\underline{R}}(\theta) \odot \dot{\underline{a}}(\theta, \phi) \quad (11)$$

$$\dot{\underline{a}}_{g\phi}(\theta, \phi) = [\dot{g}_\phi(\theta, \phi)[1] - j\pi \cos \phi \dot{g}(\theta, \phi) \dot{\underline{R}}(\theta)] \dot{\underline{a}}(\theta, \phi) \odot \dot{\underline{a}}(\theta, \phi) \quad (11)$$

که در آن $\dot{\underline{G}}_\theta(\theta, \phi)$ را بردار مشتق بهره نسبت به θ می‌نامیم. دلیل این نام گذاری را وقتی که $g(\theta, \phi) = 0$ باشد بهتر ذرک می‌کنیم. همچنین برای مشتق نسبت به ϕ خواهیم داشت.

$$\dot{\underline{a}}_{g\phi} = \dot{\underline{G}}_\phi(\theta, \phi) \odot \dot{\underline{a}}(\theta, \phi) \quad (12)$$

که در آن

$$\dot{\underline{G}}_\phi(\theta, \phi) = \dot{g}_\phi(\theta, \phi)[1] + j\pi \sin \phi \dot{\underline{R}}(\theta) \quad (13)$$

بردار مشتق بهره نسبت به ϕ است. بردار [1] برداریست که تمام اعضای آن یک هستند.

۲- دسته بندی شکل آرایه های صفحه‌ای و خطی

در اینجا این مطلب به ذهن می‌رسد که شکل‌های مختلف، چه در آشکارسازی و چه در جداسازی سیگنال‌های رسیده به آرایه به خطاهای مختلف منجر خواهند شد. در این قسمت شکل قرار گرفتن آرایه از حیث نزدیکی عناصر و یا دوری آنها از یکدیگر و یا اینکه چه دهانه‌ای از آرایه (در آرایه‌های خطی، دهانه آرایه همان طول آرایه خواهد بود) حصول خطای معینی کیفیت بهتری دارد، مطرح نیست. در مقالات بعدی به اهمیت تعریف شکل‌های مختلف آرایه خواهیم پرداخت و اثبات خواهیم کرد که خطای جداسازی به ضریب همبستگی سیگنال‌های محیطی بستگی ندارد، با آنکه در حالت کلی این خطا به این ضریب بستگی دارد. شکل آرایه صفحه‌ای نیز توسط بردارهای $\underline{r}_x \in R^{N^*}$ و $\underline{r}_y \in R^{N^*}$ تعریف می‌شود و معمولاً "در نظر گرفتن مرکز آرایه در مبدأ فازی نحوه محاسبات را آسانتر خواهد نمود.

- آرایه متقارن

هر عنصر این آرایه یک عضو متناظر که نسبت به مرجع آرایه متقارن باشد دارد، بعارت دیگر

$$\sum_i r_{xi} = \sum_i r_{yi} = 0 \quad \text{فرد} \quad (14)$$

اگر تقارن فقط روی محور x برقرار باشد، آنگاه: $\sum_i r_{xi} = 0$ و بطور مشابه، اگر تقارن روی محور y نیز برقرار باشد، آنگاه:

$$\sum_i r_{yi} = 0$$

- آرایه‌های متعامد

در این دسته آرایه، بردارهای $\underline{r}_x^T \underline{a}^T \underline{r}_y$ بر یکدیگر عمودند، یعنی:

$$\underline{r}_x^T \cdot \underline{r}_y = 0 \quad (15)$$

به راحتی می‌توان نشان داد که تقارن آرایه نسبت به محور x یا y یا هر دو شرط کافی و البته نه لازم، برای تعامد دو بردار است.

- آرایه متقارن موازن شده

در اینجا آرایه‌ها بردارهای $\underline{r}_x^T \underline{a}^T \underline{r}_y$ هم متعامدند و هم دارای اندازه‌های یکسان هستند، بعارت دیگر

$$\underline{r}_x^T \cdot \underline{r}_y = 0 \quad \text{اُ} \quad |\underline{r}_x| = |\underline{r}_y| \quad (16)$$

یکسان بودن نرم دو بردار به این معنی است که عناصر بطور یکنواخت در دو جهت x و y پراکنده شده‌اند (اگرچه ممکن است در نگاه اول به آرایه در این مورد مردد شویم). بسیاری از آرایه‌های عمومی موجود مثل ساختارهای دایروی یکنواخت، آرایه‌هایی X شکل، Y شکل، مربعی بصورت شبکه و ... جزء این کلاس از آرایه‌ها بشمار می‌رond. این گونه آرایه‌ها دارای بردارهای جهت نمای متفاوت از دیگر آرایه‌ها، و تمامی آرایه‌هایی که در این کلاس قرار می‌گیرند خاصیت یکسانی دارند. ادامه این مقاله از دو آرایه معروف ۲۴ عنصری Y شکل و دایروی یکنواخت برای بررسی نتایج استفاده خواهیم کرد. [۴]

(شکل‌های ۲ - الف و ۲ - ب).

۳- بسط فرمولهای خطی

۱- بسط فرمولهای خطای آشکارسازی

برای بسط فرمول‌های خطای، ابتدا از خطای آشکارسازی یعنی CRB_{det} شروع می‌کنیم. با توجه به (۶) در اینجا به عبارت

$$\begin{aligned} \underline{a}_{1g}^{\bullet H} P \underline{a}_{1g}^{\perp} \underline{a}_{1g}^{\bullet} &= \underline{a}_{1g}^{\bullet H} [I - \underline{a}_{1g} (\underline{a}_{1g}^H \underline{a}_{1g})^{-1} \underline{a}_{1g}^H] \underline{a}_{1g}^{\bullet} \\ &= \underline{a}_{1g}^{\bullet H} \underline{a}_{1g}^{\bullet} - \underline{a}_{1g}^{\bullet H} \underline{a}_{1g}^{\bullet} (\underline{a}_{1g}^H \underline{a}_{1g})^{-1} \underline{a}_{1g}^H \underline{a}_{1g}^{\bullet} \end{aligned} \quad (17)$$

دو عبارت $\underline{a}_{1g}^{\bullet H} \underline{a}_{1g}^{\bullet} \underline{a}_{1g}^H \underline{a}_{1g}^{\bullet}$ به راحتی قابل محاسبه هستند:

$$\underline{a}_{1g}^H \underline{a}_{1g} = (g_1 \underline{a}_1)^H \cdot (g_1 \underline{a}_1) = |g_1|^2 |\underline{a}_1|^2 = N |\underline{g}_1|^2 \quad (18)$$

$$\underline{a}_{1g}^{\bullet H} \underline{a}_{1g}^{\bullet} (\underline{G} \odot \underline{a}_1)^H (\underline{G} \odot \underline{a}_1) = \left| \frac{\dot{\underline{G}}_1}{N} \right|^2 \quad (19)$$

همچنین:

$$\underline{a}_{1g}^{\bullet H} \underline{a}_{1g}^{\bullet} = (\underline{G} \odot \underline{a}_1)^H (\underline{g}_1 \underline{a}_1)^H = g_1 (\underline{G} \odot \underline{a}_1)^H \cdot \underline{a}_1 = g_1 \sum_{i=1}^N \dot{\underline{G}}_{1i}^H \quad (20)$$

عنصر i از بردار \underline{G}_1^H است.

بنابراین، با استفاده از (17) تا (20) می‌توان نوشت:

$$\underline{a}_{1g}^{\bullet H} P \underline{a}_{1g}^{\perp} \underline{a}_{1g}^{\bullet} = \left| \frac{\dot{\underline{G}}_1}{N} \right|^2 - \left| \frac{\sum_{i=1}^N \dot{\underline{G}}_{1i}^H}{N} \right|^2 \quad (22)$$

با جایگزینی $\underline{G}_{1\theta}$ و $\underline{G}_{1\phi}$ به جای $\dot{\underline{G}}_1$ در عبارت (14)، عبارت (6) بصورت زیر در می‌آید:

$$CRB_{det}(\phi) = \frac{\sigma^2}{2LP_1 |g_1|^2} \frac{1}{\pi^2 \sin^2 \phi_1} [\underline{R}(\theta_1)]^2 - \frac{1}{N} \sum_i^N R_i(\theta_1) \quad (23)$$

$$CRB_{det}(\theta) = \frac{\sigma^2}{2LP_1 |g_1|^2} \frac{1}{\pi^2 \cos^2 \phi_1} [\dot{\underline{R}}(\theta_1)]^2 - \frac{1}{N} \sum_i^N \dot{R}_i(\theta_1) \quad (24)$$

در فرمول‌های بالا Σ^2 به معنی توان دوم مجموع است. همچنانکه از (15) و (16) برمی‌آید، عبارتی کامل را بدست آورده‌ایم که خطای آشکارسازی را به شکل هندسی آرایه ربط می‌دهد بدست آورده‌ایم. فرمول‌های فوق عمومیت برای تمام اشکال هندسی دارند اما با در نظر گرفتن بعضی از حالات خاص مثل آنچه که در بخش چهارم ذکر شد نتایج بهتری از آنها قابل استخراج است. بعنوان مثال اگر آرایه متقابن باشد، یعنی: $\sum_i^N R_i(\theta) = 0$ ، آنگاه (15) و (16) بصورت زیر ساده خواهد شد:

$$CRB_{det}(\phi) = \frac{\sigma^2}{2LP_1 |g_1|^2} \frac{1}{\pi^2 \sin^2 \phi_1} [\underline{R}(\theta_1)]^2 \quad (25)$$

$$CRB_{det}(\theta) = \frac{\sigma^2}{2LP_1 |g_1|^2} \frac{1}{\pi^2 \cos^2 \phi_1} [\dot{\underline{R}}(\theta_1)]^2 \quad (26)$$

از (17) و (18) "کاملاً" مشخص است که خطای آشکارسازی به اندازه دهنده آرایه یعنی $|\underline{R}(\theta_1)|^2$ بستگی معکوس دارد.

بعبارت دیگر آرایه‌های بزرگتر دارای خطای کمتری هستند و این خود اولین قدم در طراحی آرایه‌های Superresolution برای داشتن حداکثر دقیق و حداقل خطای است. همچنین مشخص شد که آرایه‌های متقارن دارای خطای کمتری نسبت به سایر آرایه‌ها هستند که از مقایسه (۱۵) و (۱۶) با (۱۷) و (۱۸) براحتی قابل تشخیص است؛ و بدلیل آن که $\underline{R}(\theta) = \underline{R}(\theta + \frac{\pi}{2})$

$$CRB_{det}(\theta) = \left| CRB_{det}(\phi) \right|_{\theta=\phi} = \left| CRB_{det}(\phi) \right|_{\theta=-\frac{\pi}{2}, \phi=\frac{\pi}{2}}$$

در اینجا بد نیست نگاهی به محاسبات مانیکاس و کریمی [۵] داشته باشیم. فرمول‌های (ϕ) $CRB_{det}(\theta) \neq CRB_{det}(\phi)$ که آنها در حالت کلی بدست آوردن مشابه (۱۷) و (۱۸) هستند، در حالیکه دیدیم این فرمول‌ها برای حالت خاص آرایه حاصل می‌شوند که نشان دهنده کلیت فرمول‌های (۱۵) و (۱۶) است.

برای آرایه‌های متقارن موازن شده نیز مطلب دیگری قابل توجه است. در این آرایه‌ها می‌توان نوشت:

$$|\underline{R}(\theta)|^2 = |\underline{r}_x \cos \theta + \underline{r}_y \sin \theta|^2 = |\underline{r}_x|^2 \cos^2 \theta + |\underline{r}_x|^2 \sin^2 \theta = |\underline{r}_x|^2 = |\underline{r}_y|^2$$

و همچنین می‌توان ثابت کرد که در این آرایه‌ها $|\dot{\underline{R}}(\theta)|^2 = |\underline{R}(\theta)|^2$ پس اگر فرض کنیم که g_1 نیز تابعی از θ نباشد در اینصورت:

$$CRB_{det}(\theta) = \frac{\sigma^2}{2LP_1 |g_1|^2} \frac{1}{|\underline{r}_x|^2 \sin^2 \phi} \quad (27)$$

$$CRB_{det}(\phi) = \frac{\sigma^2}{2LP_1 |g_1|^2} \frac{1}{|\underline{r}_x|^2 \cos^2 \phi}$$

همچنانکه دیده می‌شود، در این حالت خطای آرایه تابع θ نخواهد بود و این یکی از محاسن آرایه‌های متقارن موازن شده است که در بخش‌های قبلی نیز به آن اشاره رفت. در این حالت: $CRB_{det}(\theta) = \left| CRB_{det}(\phi) \right|_{\phi=\phi_0} = CRB_{det}(\phi) \left|_{\phi=\phi_0 + \frac{\pi}{2}}$ ؛ به عبارت دیگر با داشتن یکی از فرمول‌های خطای و با یک شیفت ساده، می‌توان مشخصات خطای دیگر را بدست آورد. اگر در این حالت رابطه خطای را با شکل آرایه بررسی کنیم، خواهیم دید که:

$$CRB_{det}(\theta) \propto \frac{1}{|\underline{r}_{-x}|^2} \text{ یا } \frac{1}{|\underline{r}_{-y}|^2} \quad (28)$$

$$CRB_{det}(\phi) \propto \frac{1}{|\underline{r}_{-x}|^2} \text{ یا } \frac{1}{|\underline{r}_{-y}|^2} \quad (29)$$

چنانکه قبله گفته، شد این نشان دهنده آن است که خطای آشکارسازی فقط به دهانه آرایه بستگی دارد و به نحوه توزیع عناصر در صفحه بستگی ندارد. بعبارت دیگر آرایه‌های مختلف که دارای دهانه‌های یکسان باشند دارای خطای مشابهی خواهند بود. توجه به این نکته بسیار مهم است، چرا که نشان می‌دهد طراح در هنگام طراحی آرایه برای رسیدن به یک خطای مشخص، به جواب یکتاوی نخواهد رسید و مجبور است برای محدود کردن تعداد پارامترهای دیگری را نیز در حل مسئله دخالت دهد.

آرایه‌های خطی حالت خاصی از آرایه‌های صفحه‌ای هستند، اگر عناصر آرایه فقط بر روی محورها قرار گرفته باشند آنگاه $\underline{R}(\theta) = r \cos \theta + r \sin \theta = r \cos \theta$ خواهد شد، پس:

$$CRB_{det}(\theta) = \frac{\sigma^2}{2LP_1 |g_1|^2 \sin^2 \theta_1 \cos^2 \phi_1} \left[\left| \underline{r}_{-x} \right|^2 - \sum r_{xi}^2 \right]^{-1} \quad (30)$$

$$\text{CRB}_{\det}(\phi) = \frac{\sigma^2}{2LP_1 |g_1|^2 \cos^2 \theta_1 \sin^2 \phi_1} \left[\left| \begin{matrix} r \\ -x \end{matrix} \right|^2 - \sum_{i=1}^N r_{xi}^2 \right]^{-1} \quad (31)$$

حالات خاص ذکر شده در قسمتهای قبل مثل آرایه‌های متقارن و متقارن موازن شده نیز را می‌توان در اینجا بررسی کرد که از آن صرفنظر کرده و محاسبات را برای آرایه‌های خطی یکنواخت ادامه می‌دهیم. در این آرایه‌ها عناصر بطور یکسان پخش شده‌اند یعنی بمحض مشخص شدن d ، طراحی انجام یافته است، چرا که در این حالت:

$$\text{CRB}_{\det}(\theta) = \frac{\sigma^2}{2LP_1 |g_1|^2 \sin^2 \theta_1 \cos^2 \phi_1 d^2} \left[\sum_{i=1}^N (i)^2 - \sum_{i=1}^N r_{xi}^2 \right]^{-1} \quad (32)$$

$$\begin{aligned} &= \frac{\sigma^2}{LP_1 |g_1|^2 \sin^2 \theta_1 \cos^2 \phi_1 d^2} \left[\frac{6}{N(N+1)(3N^2 - N - 2)} \right] \\ \text{CRB}_{\det}(\phi) &= \frac{\sigma^2}{2LP_1 |g_1|^2 \cos^2 \theta_1 \sin^2 \phi_1 d^2} \left[\sum_{i=1}^N (i)^2 - \sum_{i=1}^N r_{xi}^2 \right]^{-1} \\ &= \frac{\sigma^2}{LP_1 |g_1|^2 \cos^2 \theta_1 \sin^2 \phi_1 d^2} \frac{6}{N(N+1)(3N^2 - N - 2)} \end{aligned} \quad (33)$$

مفهوم عبارت‌های (۲۰) و (۲۱) آن است که اگر طراح آرایه‌ای خطی و یکنواخت را چنان طراحی کند که مثلاً $\text{CRB}_{\det}(\theta)$ معینی داشته باشد، در این صورت ممکن است $\text{CRB}_{\det}(\phi)$ بدست آمده زیاد مناسب نباشد. همچنین بیانگر آن است که نمی‌توان $\text{CRB}_{\det}(\phi)$ تغییر داد، چرا که $\text{CRB}_{\det}(\phi) \neq \sqrt{\text{CRB}_{\det}(\theta)}$ هر دوتابع d هستند و اگر هر یک توسط یکی از فرمول‌های (۲۰) یا (۲۱) یکبار تعیین شود دیگر قابل تغییر نخواهد بود.

شکل (۳) مقادیر $\sqrt{\text{CRB}_{\det}(\phi)}$ و $\sqrt{\text{CRB}_{\det}(\theta)}$ را برای دو آرایه شکل (۲) نشان می‌دهند.

۳-۲- بسط فرمولهای خطای جدادسازی

در اینجا با توجه به حضور دو منبع در محیط، از معادله (۷) استفاده می‌جوئیم. با استفاده از [۵] داریم

$$\begin{aligned} \underline{a}_{1g}^{*H} P_{Ag}^{\perp} \underline{a}_{1g}^* &= \underline{a}_{1g}^{*H} [P_{Ag}^{\perp} - P_{Ag}^{\perp} \underline{a}_{1g} [\underline{a}_{1g}^H P_{Ag}^{\perp} \underline{a}_{1g}]^{-1} \underline{a}_{1g}^H P_{Ag}^{\perp}] \underline{a}_{1g}^* \\ &= \underline{a}_{1g}^{*H} P_{Ag}^{\perp} \underline{a}_{1g}^* - \underline{a}_{1g}^{*H} P_{Ag}^{\perp} \underline{a}_{1g} (\underline{a}_{1g}^H P_{Ag}^{\perp} \underline{a}_{1g})^{-1} \underline{a}_{1g}^H P_{Ag}^{\perp} \underline{a}_{1g}^* \end{aligned} \quad (34)$$

برای محاسبه (۲۲) آن را به چندین بخش تقسیم‌بندی می‌کنیم. نتایج این محاسبات با استفاده از روابط ضمیمه (۱) بدست آمده‌اند:

$$\begin{aligned} \text{الف - محاسبه } \zeta_1 &= \underline{a}_{1g}^H P_{Ag}^{\perp} \underline{a}_{1g}^* \\ \zeta_1 &= N |g_2|^2 \left[1 - \frac{\left| \sum_{i=1}^N \exp(j\Delta s_i) \right|^2}{N^2} \right] \end{aligned} \quad (35)$$

در این رابطه و در حالت کلی (یعنی $\phi_1 \neq \phi_2 \neq \theta_1 = \theta_2$) داریم:

$$\text{ب - محاسبه } \zeta_2 = \underline{a}_{1g}^H P_{Ag}^{\perp} \underline{a}_{1g}^*$$

$$\xi_2 = g_2^H \left[\sum_{i=1}^N G_{li} \exp(j\Delta s_i) - \frac{\sum_{i=1}^N G_{li}^H \sum_{i=1}^N \exp(j\Delta s_i)}{N} \right] \quad (36)$$

$$\xi_3 = \underline{a}_{1g}^{*H} P \underline{a}_{1g}^{\perp} \underline{a}_{1g} \quad (37)$$

عبارت ξ_2 در بخش قبل محاسبه شده و در اینجا فقط از نتایج آن استفاده می‌کنیم

$$\xi_3 = \left| \underline{G}_1 \right|^2 - \frac{\left| \sum_{i=1}^N G_{li}^H \right|^2}{N} \quad (38)$$

با محاسبه سه عبارت فوق عبارت کلی

$$\underline{a}_{1g}^{*H} P \underline{a}_{1g}^{\perp} \underline{a}_{1g} = \xi_3 - \frac{|\xi_2|^2}{\xi_1} \quad (39)$$

بدست خواهد آمد.

حال به بحث در روابط فوق پرداخته و آنها را برای حالت‌های خاص محاسبه می‌کنیم. قبل از ادامه، از آنجایی که در سیستم‌های Superresolution اصل بر جداسازی سیگنال‌های خیلی نزدیک به هم است، پس باید Δs بسیار کوچک باشد لذا از این به بعد در روابط از تقریب درجه اول $\exp(j\Delta s_i) \approx 1 + j\Delta s_i$ استفاده خواهیم جست؛ عبارت دیگر:

قراردادن \dot{G}_1 در معادلات قسمتهای «ب» و «ج» و با دانستن این مطلب که این عبارات را یکبار برای مشتق نسبت به ϕ و یکبار نسبت به θ در نظر می‌گیریم (از عبارت $\dot{G}_{1\theta}$ و $\dot{G}_{1\phi}$ استفاده می‌کنیم). در ابتدا فرض می‌کنیم که $\theta_1 = \theta$ و $\phi_1 \neq \phi$ ؛ عبارت دیگر:

$$\Delta s_i = \pi R_i(\theta_1) (\cos \phi_1 - \cos \phi_i) \quad (40)$$

با جایگزین نمودن $\dot{G}_{1\phi}$ به جای \dot{G}_1 بدست می‌آید:

$$|\xi_1(\phi)|^2 = \pi^2 \sin \phi_1 (\cos \phi_1 - \cos \phi_i)^2 g_1 g_1^H \left[\frac{\sum_i R_i(\theta_1)}{N} - |\underline{R}(\theta_1)|^2 \right] \quad (41)$$

و هنچنین:

$$\xi_1(\phi) = -\pi^2 |g_2|^2 (\cos \phi_2 - \cos \phi_1)^2 \frac{\sum_i^2 R_i(\theta_1)}{N} \quad (42)$$

و در نتیجه:

$$\frac{|\xi_2(\phi)|^2}{\xi_1(\phi)} = -\pi^2 \sin \phi_1^2 |g_1|^2 \frac{\left| \frac{\sum_i^2 R_i(\theta_1)}{N} - |\underline{R}(\theta_1)|^2 \right|^2}{\sum_i^2 R_i(\theta_1)} \quad (43)$$

حال اگر به جای \dot{G}_1 را جایگزین کنیم، خواهیم داشت:

$$\frac{|\xi_2(\phi)|^2}{\xi_1(\phi)} = -\pi^2 \cos \phi_1^2 |g_1|^2 \frac{\left| \sum_i R_i(\theta_1) \dot{R}_i(\theta_1) - \frac{\sum_i R_i(\theta_1) \sum_i \dot{R}_i(\theta_1)}{N} \right|^2}{\sum_i^2 R_i(\theta_1)} \quad (44)$$

همچنین:

$$\xi_3(\phi) = -\pi^2 \sin^2 \phi_1 |g_1|^2 \left[|\underline{R}(\theta_1)|^2 - \frac{\sum_i^2 R_i(\theta_1)}{N} \right] \quad (45)$$

$$\xi_3(\phi) = -\pi^2 \cos^2 \phi_1 |g_1|^2 \left[\left| \frac{\bullet}{R(\theta_1)} \right|^2 - \frac{\sum^2 \dot{R}_i(\theta_1)}{N} \right] \quad (45)$$

در نتیجه:

$$CRB_{Res}(\phi) = \frac{\sigma^2}{2LP|g_1|^2} \frac{1}{\pi^2 \sin^2 \phi_1} \left\{ \left(\left| \frac{\bullet}{R(\theta_1)} \right|^2 - \frac{\sum^2 R_i(\theta)}{N} \right) \frac{\left| \frac{\bullet}{R(\theta_1)} \right|^2}{\frac{\sum^2 R_i(\theta_1)}{N}} \right\}^{-1} \quad (46)$$

قابل توجه است برای حالتی که $\phi_1 = \phi_2 \neq \theta$ باشد، عبارات فوق با جود $\Delta s_i = \pi \cos \phi_1 (R_i(\theta_2) - R_i(\theta_1))$ به شکل زیر تغییر می‌کنند:

$$CRB_{Res}(\phi) = \frac{\sigma^2}{2LP|g_1|^2} \frac{1}{\pi^2 \sin^2 \phi_1} \left\{ \left| \frac{\bullet}{R(\theta_1)} \right|^2 - \frac{\sum^2 R_i(\theta_1)}{N} + \right. \quad (47)$$

$$+ \frac{\left| \frac{\sum R_i(\theta_1) \sum \Delta R_i(\theta)}{N} - \sum R_i(\theta_1) \sum R_i(\theta_2) + \left| \frac{\bullet}{R(\theta_1)} \right|^2 \right|^2}{\frac{\sum^2 \Delta R_i(\theta)}{N}} \left\}^{-1} \quad (47)$$

$$CRB_{Res}(\theta) = \frac{\sigma^2}{2LP|g_1|^2} \frac{1}{\pi^2 \cos^2 \phi_1} \left\{ \left| \frac{\bullet}{R(\theta_1)} \right|^2 - \frac{\sum^2 \dot{R}_i(\theta_1)}{N} - \right. \quad (48)$$

$$- \frac{\left| \sum \Delta R_i(\theta) \sum \dot{R}_i(\theta_1) - \frac{\sum \Delta R_i(\theta) \sum \dot{R}_i(\theta_1)}{N} \right|^2}{\frac{\sum^2 \Delta R_i(\theta)}{N}} \left\}^{-1}$$

عبارات (۲۳) تا (۲۶) کاملترین عبارات در جهت محاسبه خطای جداسازی در دو برای θ و ϕ هستند. با یک نگاه دقیق می‌توان فهمید که در حالت‌های خاص مثل آرایه‌های متقارن این فرمول‌ها ساده می‌شوند. در اینجا برای روشنتر شدن موضوع، حالت آرایه‌های متقارن را بررسی می‌کنیم. با قراردادن $\sum R_i(\theta) = \sum \dot{R}_i(\theta) = 0$ در چهار معادله اخیر به راحتی دیده می‌شود که هم $CRB_{Res}(\phi)$ و هم $CRB_{Res}(\theta)$ صفر خواهند شد که ایده آل ترین حالت ممکن است؛ ولی اگر دقت کنیم عبارت $\exp(j\Delta s_i)$ به شکل درجه ۱ بسط داده بودیم که خود مقداری خطای را وارد مسأله کرده است، پس در مورد آرایه‌های متقارن به جای بسط درجه اول، از بسط درجه دوم که از خطای کمتری برخوردار است، استفاده می‌کنیم. بنابراین اگر بجای (فرض شود):

$$\exp(j\Delta s_i) \cong 1 + j\Delta s_i - \frac{(\Delta s_i)^2}{2} \quad (49)$$

با استفاده از محاسبات ضمیمه (۲) می‌بینیم که اگر $\theta_1 = \theta$ و $\phi_2 \neq \phi_1$ باشند، خواهیم داشت:

$$CRB_{Res \sum R_i=0}(\phi) = \frac{\sigma^2}{2LP|g_1|^2} \frac{1}{\pi^2 \sin^2 \phi_1 |R(\theta_1)|^2} \left\{ 1 - \frac{2}{N(2 - \frac{\pi^2}{2} (\cos \phi_2 - \cos \phi_1) |R(\theta_1)|^2)} \right\}^{-1} \quad (50)$$

$$CRB_{\text{Res} \sum R_i(\theta) = \sum \dot{R}_i(\theta)}(\theta) = \frac{\sigma^2}{2LP|g_1|^2} \frac{1}{\pi^2 \cos^2 \phi_1} \frac{1}{|\dot{R}(\theta_1)|^2} \quad (51)$$

$$\cdot \left\{ 1 - \frac{\cos^2 \phi_1 [\sum \dot{R}_i(\theta_1) \sum R_i(\theta_1) + \frac{\pi^2}{4} (\cos \phi_1 - \cos \phi_1)^2 \sum \dot{R}_i(\theta_1) R_i(\theta_1)]}{\frac{N}{2} |\dot{R}(\theta_1)|^2 |\dot{R}(\theta_1)|^2 [2 - \frac{\pi^2}{2} (\cos \phi_1 - \cos \phi_1)^2 |\dot{R}(\theta_1)|^2]} \right\}^{-1} \quad (52)$$

و در حالتی که $\phi_1 = \phi_2 \approx \theta$ باشد:

$$CRB_{\text{Res} \sum R_i(\theta) = \sum \dot{R}_i(\theta)}(\phi) = \frac{\sigma^2}{2LP|g_1|^2} \frac{1}{\pi^2 \sin^2 \phi_1} \left\{ |\dot{R}(\theta_1)|^2 - \frac{2 |\Delta R(\theta)|^2}{N(2 - \frac{\pi^2}{2} \cos^2 \phi_1 |\Delta R(\theta)|^2)} \right\}^{-1} \quad (53)$$

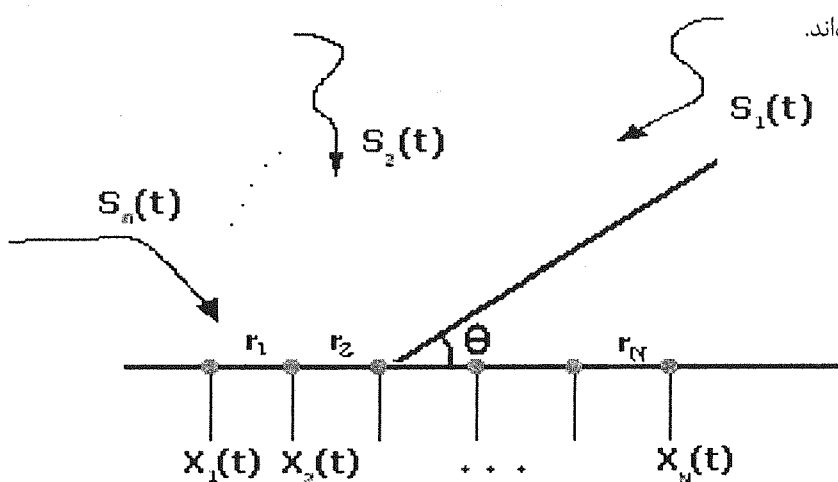
۹

$$\begin{aligned} CRB_{\text{Res} \sum R_i(\theta) = \sum \dot{R}_i(\theta) = 0}(\theta) &= \frac{\sigma^2}{2LP|g_1|^2} \frac{1}{\pi^2 \cos^2 \phi_1} \frac{1}{|\dot{R}(\theta_1)|^2} \\ &\cdot \left\{ 1 - \frac{\cos^2 \phi_1 [\sum^2 \dot{R}_i(\theta_1) \Delta R_i(\theta) + \frac{\pi^2}{4} \cos^2 \Phi_2 \sum^2 \dot{R}_i(\theta_1) \Delta^2 R_i(\theta_1)]}{\frac{N}{2} |\Delta R(\theta_1)|^2 |\dot{R}(\theta_1)|^2 [2 - \frac{\pi^2}{2} (\cos^2 \Phi_2 |\Delta R(\theta)|^2)]} \right\}^{-1} \end{aligned} \quad (54)$$

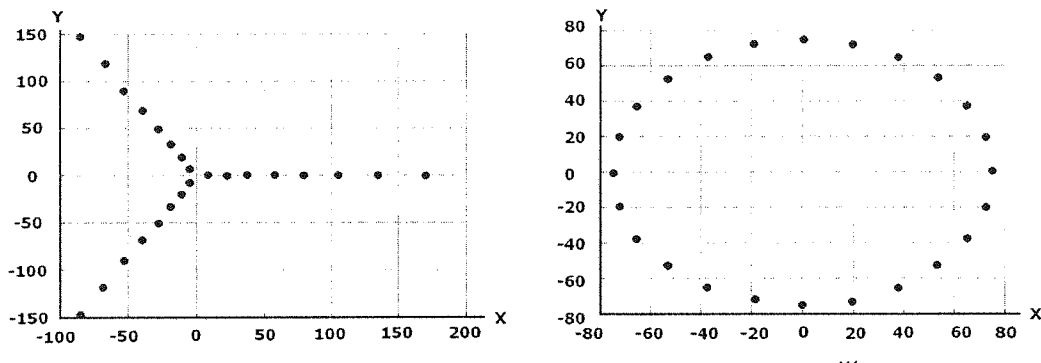
از معادلات فوق نتیجه می‌شود که کمترین خطای چه در $CRB_{\text{Res}}(\phi)$ و چه در $CRB_{\text{Res}}(\theta)$ در آرایه‌های متقارن ظاهر می‌شود شکل (۴) خطای آشکارسازی را برای آرایه‌های شکل (۲) نشان می‌دهد. همچنین این خطای در حضور عناصر با بهره داده شده‌اند. همچنین با دسته‌بندی شکل آرایه‌ها، نشان داده شد که آرایه‌های متقارن چه از حیث آشکارسازی و چه از حیث جداسازی نسبت به سایر آرایه‌ها دارای خطای کمتری است که با در نظر گرفتن بسط درجه دوم تابع نمایی فرمولهای دقیق توسعه (۲۹) و (۳۰) ارائه شده‌اند.

۴- نتایج

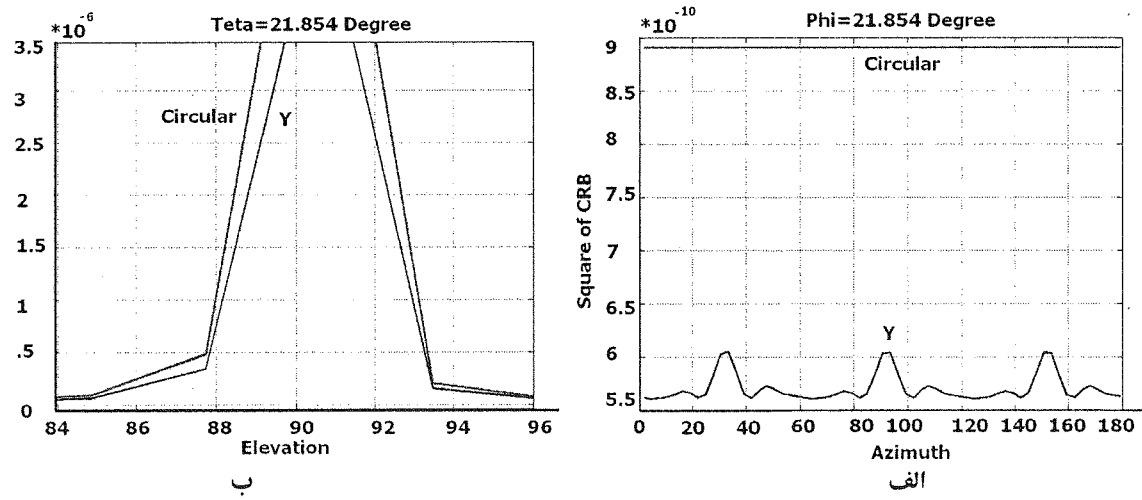
در این مقاله نشان دادیم که خطای آشکارسازی و جداسازی منابع دریافتی توسط مجموعه عناصر یک آرایه بستگی مستقیم به شکل هندسی آرایه و یا نحوه چیده شدن عناصر آرایه دارد. چگونگی ارتباط، توسط فرمولهای (۱۵) تا (۲۶) نشان داده شده‌اند. همچنین با دسته‌بندی شکل آرایه‌ها، نشان داده شد که آرایه‌های متقارن چه از حیث آشکارسازی و چه از حیث جداسازی نسبت به سایر آرایه‌ها دارای خطای کمتری است که با در نظر گرفتن بسط درجه دوم تابع نمایی فرمولهای دقیق توسعه (۲۹) و (۳۰) ارائه شده‌اند.



شکل (۱): عناصر یک آرایه

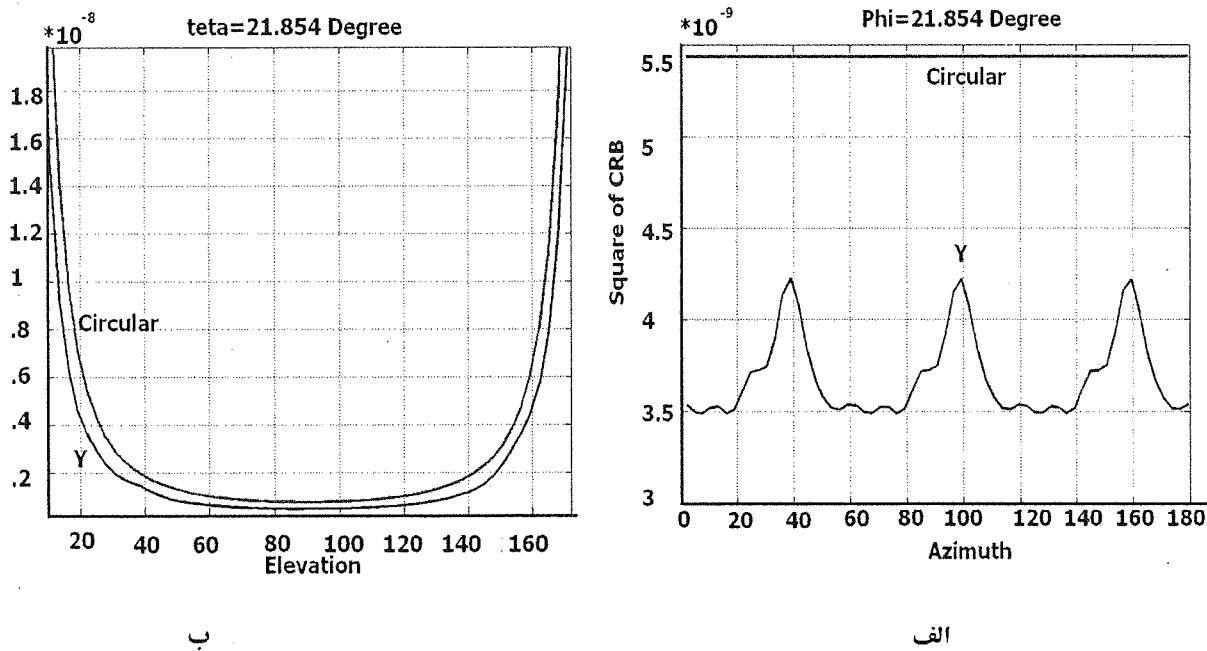


شکل (۲): موقعیت عناصر آرایه‌های دایره‌ای (الف) و Y (ب)



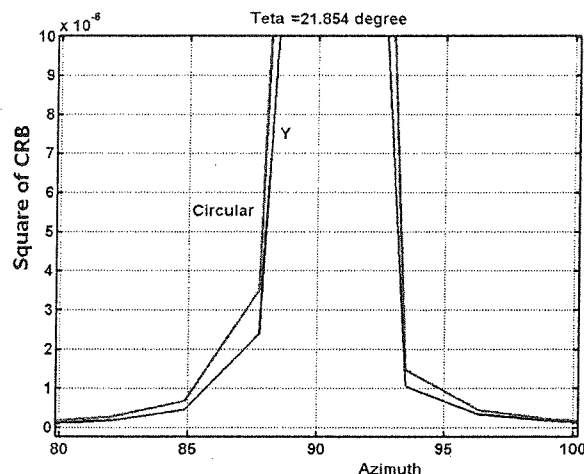
شکل (۳): خطای آشکارسازی برای آرایه‌های شکل (۲)

الف - خطای آشکارسازی نسبت به Azimuth $\phi = 20^\circ$
ب - خطای آشکارسازی نسبت به Elevation $\theta = 20^\circ$
مشخصات سیستم پردازشگر $SNR = 10 dB, L = 100, f = 15 MHz$ و عناصر ایزوتروپیک هستند.

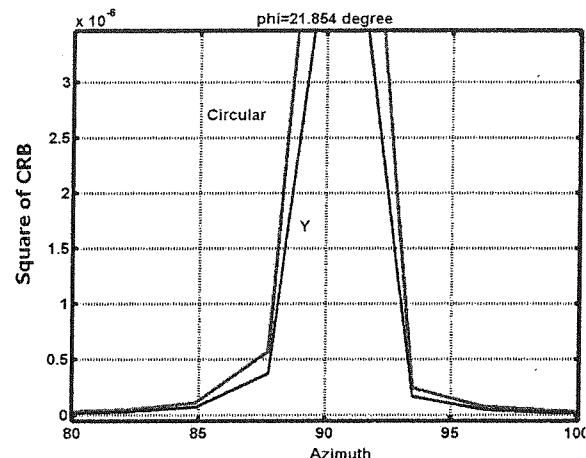


شکل (۴): خطای آشکارسازی برای آرایه‌های شکل (۲).

الف - خطای جداسازی نسبت به Azimuth $\phi = 20^\circ$ و Elevation $\theta = 20^\circ$
ب - خطای جداسازی نسبت به Elevation $\theta = 20^\circ$ و Azimuth $\phi = 20^\circ$
مشخصات سیستم پردازشگر: عناصر ایزوتروپیک
 $\Delta\phi = \dots \pi$ و $\Delta\theta = \dots \pi, SNR = 10 dB, L = 100, f = 15 MHz$



ب



الف

شکل (۵): خطای آشکارسازی برای آرایه‌های شکل (۲).

الف - خطای جداسازی نسبت به Azimuth و $\phi = 20^\circ$ ب - خطای جداسازی نسبت به Elevation $\theta = 20^\circ$ مشخصات سیستم پردازشگر: عناصر با گین

$$\Delta\phi = 0.01\pi \quad \Delta\theta = 0.01\pi \quad SNR = 10\text{dB}, L = 100, f = 15\text{MHz} \quad g(\theta, \phi) = \cos\theta$$

ضمامات

الف - محاسبه ξ_1

$$\xi_1 = \underline{a}_{2g}^H P \underline{a}_{1g}^\perp \underline{a}_{2g} = \underline{a}_{2g}^H (I - \underline{a}_{1g} (\underline{a}_{1g}^H \underline{a}_{1g})^{-1} \underline{a}_{1g}^H) \underline{a}_{1g}$$

$$= \underline{a}_{2g}^H \underline{a}_{2g} - \underline{a}_{2g}^H \underline{a}_{1g} (\underline{a}_{1g}^H \underline{a}_{-1g})^{-1} \underline{a}_{1g}^H \underline{a}_{2g}$$

با فرض:

$$\xi_1, \Delta s_i = \pi [R_i(\theta_2) \cos \phi_2 - R_i(\theta_1) \cos \phi_1]$$

را به قسمتهای زیر تقسیم‌بندی می‌کنیم:

$$1) \underline{a}_{1g}^H \underline{a}_{1g} = |\underline{a}_{1g}|^2 = N|g_1|^2$$

$$2) \underline{a}_{2g}^H \underline{a}_{2g} = |\underline{a}_{2g}|^2 = N|g_2|^2$$

$$3) \underline{a}_{1g}^H \underline{a}_{1g} \underline{a}_{1g}^H \underline{a}_{-1g} = \left| \underline{a}_{1g}^H \underline{a}_{1g} \right|^2 = \left| \sum_i g_i^H g_i \exp[j\Delta s_i] \right|^2$$

$$\xi_1 = \underline{a}_{2g}^H P_{-1g}^{\frac{1}{2}} \underline{a}_{2g} = [N|g_2|^2 - \frac{|g_1|^2 |g_2|^2 |\sum \exp[j\Delta s_i]|^2}{N|g_1|^2}]$$

$$= N|g_2|^2 [1 - \frac{|\sum \exp[j\Delta s_i]|^2}{N^2}]$$

ب - محاسبه ξ_2

$$\xi_2 = \underline{a}_{2g}^H P_{-1g}^{\frac{1}{2}} \underline{a}_{1g}^* = \underline{a}_{2g}^H (I - \underline{a}_{1g} (\underline{a}_{1g}^H \underline{a}_{1g})^{-1} \underline{a}_{1g}^H) \underline{a}_{1g}^*$$

$$= \underline{a}_{1g}^H \dot{\underline{a}}_{1g} - \underline{a}_{1g}^H \underline{a}_{1g} (\underline{a}_{1g}^H \underline{a}_{1g})^{-1} \dot{\underline{a}}_{1g}^H \dot{\underline{a}}_{1g}$$

دراينجا نيز مانند قسمت قبل، ξ_1 را به بخش‌های زير تقسيم‌بندی می‌کنيم:

$$\underline{a}_{1g}^H \dot{\underline{a}}_{1g} = N |g_1|^2$$

$$\underline{a}_{1g}^H \dot{\underline{a}}_{1g} = (g_1[1] \otimes \underline{a}_1)^H (\dot{G}_{-1} \otimes \underline{a}_1) = g_1^H \sum_i \dot{G}_{li}$$

$$\underline{a}_{2g}^H \dot{\underline{a}}_{1g} = (g_2[1] \otimes \underline{a}_1)^H (g_1[1] \otimes \underline{a}_1) = g_1 g_2^H \sum_i \exp[\Delta s_i]$$

$$\xi_2 = g_2^H \left[\sum_i \dot{G}_{li} \exp(\Delta s_i) - \frac{\sum_i \dot{G}_{li} \exp(j\Delta S_i)}{N} \right]$$

با قراردادن مقادير ξ_1 و ξ_2 و ξ_3 و (ξ_2 قبلًا در خود مقاله محاسبه شده است) در عبارت $\dot{\underline{a}}_{1g}^H P_{Ag}^{\perp} \dot{\underline{a}}_{1g}$ عبارت کامل بدست می‌آيد.

$$\dot{\underline{a}}_{1g}^H P_{Ag}^{\perp} \dot{\underline{a}}_{1g} = \left| \frac{\dot{G}_1}{N} \right|^2 - \frac{\left| \sum_i \dot{G}_{li}^H \right|^2}{N} - \frac{\left| \sum_i \dot{G}_{li} \exp(j\Delta S_i) - \sum_i \dot{G}_{li} \sum_i \exp(j\Delta S_i) \right|^2}{N \left[1 - \frac{\left| \sum_i \exp(j\Delta S_i) \right|^2}{N^2} \right]}$$

اگر در اين حالت عبارتهای ξ_1 و ξ_2 و ξ_3 را به ترتيب با H_1 و H_2 و H_3 نشان دهيم عبارت ξ_2 بدليل نداشتنتابع $\exp(j\Delta s_i)$ بدون تغيير باقی خواهد ماند يعني $H_3 = \xi_3$
اما دو عبارت H_1 و H_2 مجدداً باید محاسبه شوند.

براي محاسبات سعى می‌کنيم فقط تغييرات را جايگزين کنيم. در عبارت ξ_2 تغيير اصلی بر عبارت $(j\Delta s_i)$ حاصل شده است پس:

$$H_1 = N |g_2|^2 - \frac{\left| g_2^H g_1 \sum_i \exp(j\Delta s_i) \right|^2}{N |g_1|^2}$$

$$H_1 = N |g_2|^2 - \frac{\left| g_2^H g_1 - \frac{\pi^2}{2} (\cos \phi_2 - \cos \phi_1)^2 g_2^H g_1 |\underline{R}(\theta_1)|^2 \right|^2}{N |g_1|^2}$$

در عبارت فوق همچنان $\Delta s_i = \pi (\cos \phi_2 - \cos \phi_1) R_i(\theta_1)$ در نظر گرفته شده است. پس $H_1 = N |g_2|^2 \frac{\pi^2}{2} (\cos \phi_2 - \cos \phi_1)^2 |\underline{R}(\theta_1)|^2 \left[2 - \frac{\pi^2}{2} (\cos \phi_2 - \cos \phi_1)^2 |\underline{R}(\theta_1)|^2 \right]$

$$H_2 = \xi_2 - \left[\frac{1}{2} \dot{g}_1^H g_2^H \pi^2 (\cos \phi_2 - \cos \phi_1)^2 |\underline{R}(\theta_1)|^2 - \left[\frac{\pi^2}{2} (\cos \phi_2 - \cos \phi_1)^2 g_1^H g_2^H \right. \right. \\ \left. \left. + |\underline{R}(\theta_1)|^2 (N g_1^H g_1^H) \right] N |g_1|^2 \right]$$

به عبارت دیگر H_2 هیچ تغییری حتی با بسط درجه دوم \exp نمی‌کند. با ترکیب کردن نتایج فوق به ترتیب (۲۷) و (۲۸) بدست می‌آیند. نکته مهم که باید در اینجا مد نظر باشد، عبارت مشتق بهره است که تفاوت اصلی در فرمولها را ایجاد می‌کند. همچنین در اینجا نتایج را برای حالتی که Δs_i بصورت (۲۹) تعریف شود بدست آورده‌یم، با کمی دست کاری می‌توان نتایج را برای $\Delta s_i = \pi \cos \phi_i [R_i(\theta_r) - R_i(\theta_s)]$ نیز به شکل (۳۰) بدست آورد.

مراجع

- [1] Stoica, P. and Nehorai, A., "MUSIC, Maximum Likelihood, and Cramer-Rao Bound", IEEE Trans. On Acoustics, and signal processing. Vol. 37, No. 5, May 1989
- [2] Dacos I., and Manikas A., "The use of Differential Geometry in Estimating the Manifold Parameters of one Dimensional Array of Sensors", Journal of The Franklin Institute, Engineering and Applied Mathematics, Vol. 332 B, No. 3, PP 307-332, 1995
- [3] Aleksander Dogandric and Arye Nehorai, "CRAMER-RAO Bounds for Estimating –Range, velocity, and Direction with a sensor Array" 0-7803-6339-61001 © IEEE 2000 PP- 370-375
- [4] A. Manikas, A. Alexiou and H. R. Karimi, "Comparison of the Ultimate Direction-Finding Capabilities of a number of Planar Array Geometries", IEE, Proc-Radar, Sonar Navig.- Vol 144, No.6 December 1997
- [5] H. R. Karimi and A. Manikas, " The Manifold of a planar Array and its Effects on the Accuracy of Direction-Finding Systems", IEE Proc, Radar, Sonar and Navig. Vol 143, No. 6 PP. 349-357, December 1996.